

内部波の減衰に関する一実験

京都大学工学部 正員 岩佐義朗  
 京都大学工学部 正員 井上和也  
 京都大学大学院 学生員 伊丹文雄  
 九州電力 吹気正高

1. まえかき

前報<sup>1)</sup>に於いては、淡塩水よりなる2成層流の内部波のエネルギー式をもとめるとともに、それにもとづいて、内部波の発達あるいは減衰について三実験的に考察を行なった。しかし、対象とした実験条件のもとでの現象がきわめて複雑であったため、境界面に作用するせん断応力、混合などの内部波に及ぼす影響を把握することは困難であった。そこで本報では、より単純な実験条件のもとでの内部波の減衰を観測し、岩垣ら<sup>2)</sup>の研究にもとづいて境界面でのエネルギー逸散を推定しようとしたものである。

2. 実験装置および測定方法

実験に用いた水槽は全長 $L=150\text{cm}$ 、幅 $B=10\text{cm}$ 、深さ $20\text{cm}$ のものである。実験にあたっては、上下層を淡塩水で2層にし、塩水の密度、水深のいくつかの組合せについて行なった。塩水には過マンガン酸カリ溶液を溶かし、境界面を目視しうるようにした。

測定には、水槽内に定常波を発生させ、自由水面と内部境界面のそれぞれに、2本の白金線よりなる波高計を置き、これらをブリッジ回路の一端として増幅器を通し、ペン書きレコーダに記録した。なお、記録は自由水面の変動が静まったからの記録を用いた。

3. 実験結果と考察

1) エネルギー式

x軸を水面軸とする座標系を図-1

のようにとする。上下層を加え合わせた全エネルギーはつきのようになる(添字1,2をそれぞれ上,下層を示す)

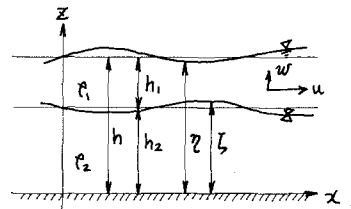


図-1

$$\frac{\partial}{\partial t} \int_0^{z_0} \rho_2 \frac{q^2}{2} dz + \frac{\partial}{\partial t} \int_{z_0}^h \rho_1 \frac{q^2}{2} dz + \frac{\partial}{\partial x} \int_0^{z_0} \rho_2 u \left( \frac{g^2}{2} + \frac{p}{\rho_2} + gz \right) dz + \frac{\partial}{\partial x} \int_{z_0}^h \rho_1 u \left( \frac{g^2}{2} + \frac{p}{\rho_1} + gz \right) dz + \rho_1 g \frac{\partial}{\partial t} \frac{z^2}{2} + (\rho_2 - \rho_1) g \frac{\partial}{\partial t} \frac{z^2}{2} = R \quad (1)$$

ただし、 $g^2 = u^2 + w^2$ 、 $R$ : エネルギー損失である。ここで自由水面は静水面に近似し( $z=h=\text{const}$ ) (1)式を水槽内の全体にわたって積分すると右項、右4項は消去される。また内部のポテンシャルをつきのように表わすものと仮定する。(a: 内部波の振幅)

$$\phi_1 = \frac{a\sigma}{k \sinh kh_1} \cosh k(z-h) \cos \sigma t \cos kx, \quad \phi_2 = -\frac{a\sigma}{k \sinh kh_2} \cosh kz \cos \sigma t \cos kx \quad (2)$$

$$\sigma^2 = (\rho_2 - \rho_1) g k / (\rho_2 \coth k h_2 + \rho_1 \coth k h_1), \quad k = 2\pi/\lambda, \quad \lambda: \text{波長}$$

このとき内部波のエネルギー式(1)式はつきのようになる。

$$\frac{\partial}{\partial t} \frac{a^2}{4} (\rho_2 - \rho_1) g \cdot B \cdot L = \int_V R dV \quad (3)$$

II) 内部波の減衰 エネルギー損失を内部摩擦によるものと、底面、側壁および境界面において生ずるものとに分け、前者は後者に比して無視せしめるとする。底面および側壁で単位面積、単位時間あたりに逸散されるエネルギーをそれぞれ  $E_{fb}$ ,  $E_{fw}$  とすれば、岩垣ら<sup>2)</sup>により

$$E_{fb} = \frac{\mu \sqrt{R_0}}{2\sqrt{2}} k \frac{a^2 \sigma^2}{\sinh^2 kh_2} (1 + O(\varepsilon_2) + \dots), \quad 2E_{fw} = \frac{\mu}{\sqrt{2}} a^2 \sigma^2 \sqrt{R_0} \frac{\cosh kh_2}{h_2} (1 + O(\varepsilon_2) + \dots)$$

$$2E_{fw} = \frac{\mu}{\sqrt{2}} a^2 \sigma^2 \sqrt{R_0} \frac{\cosh kh_1}{h_1} (1 + O(\varepsilon_1) + \dots), \quad R_0 = \sigma / \nu k^2, \quad \mu: \text{粘性係数}$$

( $\varepsilon$ : 底面での最大水粒子速度と波速の比で1に比し十分小さい)

とあらわされる壁面を主とする層流境界層内でのエネルギー逸散)。境界面でのエネルギー逸散を  $E_{fc}$  とすれば、以上のことより、(3)式の右辺は、

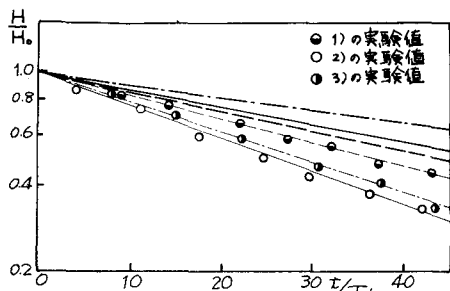
$$\int_V R dV = E_{fb} \cdot BL + 2(E_{fw_1} h_1 + E_{fw_2} h_2)L + E_{fc} \cdot BL$$

となる。さらに、 $E_{fc} = E'_{fc} a^2$ ,  $H = 2a$  (波高) とすれば、(3)式はつぎのようになる。

$$\frac{dH}{dt} = -(d_b + d_w + d_c)H, \quad d_b = \frac{8 E_{fb}}{F_2 - F_1} g, \quad d_w = \frac{16(E_{fw_1} + E_{fw_2})}{F_2 - F_1} g, \quad d_c = \frac{8 E'_{fc}}{F_2 - F_1} g$$

III) 結果と考察 実験にあたっては、水槽内にわざと擾乱を与えて内部波を生ぜせた。その波長はつねに水槽長の2倍であることが観測された。またこの波にきわめて波高の小さい高周波数の波が重なったが、この成分による影響は微小なものとみなした。

図-2は実験より得られた内部波の減衰状態を示したものである。ここで  $H_0$  は記録とり始めの波高(약 1cm)であり、 $T_{obs}$  は観測した周期である。図中の太線は、上述の  $(d_b + d_w)$  による減衰を示すものであるが、図-2は、内部波はより速く減衰しており、その差が境界面に与けるエネルギー損失による減衰  $(d_c)$  とみ分けられる。また図-2、波高が時間とともに直線的に減衰していることから、この範囲内の波高は  $(d_b + d_w + d_c)$  に無関係であることがわかる。



1) ---  $d_w + d_b$  ( $h_1 = 4.0 \text{ cm}, h_2 = 11.0 \text{ cm}, F_1 = 1.082$ )  
2) ———  $d_w + d_b$  ( $h_1 = 5.0 \text{ cm}, h_2 = 10.0 \text{ cm}, F_1 = 1.082$ )  
3) ---  $d_w + d_b$  ( $h_1 = 6.0 \text{ cm}, h_2 = 9.0 \text{ cm}, F_1 = 1.082$ )

図-2

図-3は  $d_c$  と  $h_1/h_2$  の関係を示したもので、 $\times 10^{-2}$  上層水深が大きくなるにしたがって、境界面での損失による減衰が大きくなる傾向がみられる。

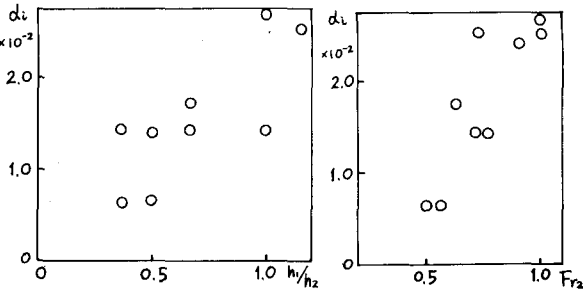


図-3

図-4

また、図-4は  $F_2 = c \sqrt{\frac{F_2 - F_1}{F_2}} g h_2$  と  $d_c$  との関係で、 $F_2$  と  $d_c$  に正の相関がみられる。

実験ケースも少なく、条件も限られているので今後さらに実験を行ない、考察を進めたいと考えている。

文献 1) 若佐義朗, 井上和也 "内部波の発生に関する一考察" 昭和4年度土木学会関西支部年次学術講演会概要  
2) 岩垣隆一, 土屋義人, 坂井俊行, 陳浩臨 "海底摩擦による波高減衰機構に関する研究" 昭和41年3月京大防災研究所年報第9号